

УДК 539.6

**РАСПРОСТРАНЕНИЕ ДАВЛЕНИЯ С ПРОИЗВОЛЬНОЙ  
СКОРОСТЬЮ ПО ГРАНИЦЕ СЖИМАЕМОЙ ЖИДКОСТИ,  
ЧАСТЬ КОТОРОЙ ЯВЛЯЕТСЯ ТВЕРДЫМ ПОКРЫТИЕМ**

Асрян Н. Г., Багдоев А. Г.

Ն. Գ. Ասրյան, Ա. Գ. Բագդոև

Մեղմնի հեղուկով զբաղեցրած կիսահարթորյան պինդ եզրով կամայական արագությամբ տարածվող ճակատի ճնշման խնդրի լուծումը

Դիտարկվում է իդրալիան սեղմնի հեղուկով զբաղեցրած և սառցե ծածկույթով կիսահարթորյան մերթի ճասր բախանցող ճնշման որոշման խնդիրը:

Ենչման ճակատի շարժման օրենքը մակերևույթով կամայական է: Խառց եզրային պայմաններով այդ խնդրի լուծումը տրվում է հիմնվելով այն մերոդների վրա, որոնք զարգացված են վերջավոր (բախով) քնի և ստանձակման միջավայրում ճաբրիի տեսություններում:

N.G. Asrian, A.G. Bagdoyev

**The solution of problem on pressure front propogating along rigid boundary of halfplane, occupied by compressive fluid**

Рассматривается задача проникновения давления в глубь сжимаемой идеальной жидкости, занимающей нижнюю полуплоскость с ледовым покровом.

Закон движения фронта давления по поверхности произвольный. Решение задачи со смешанными граничными условиями производится методами, развитыми в теории крыла конечного размаха и теории трещин в упругой среде. Получено значение нормальной скорости частиц жидкости под фронтом давления и потенциала (давления) вне его.

**1. Общее решение задачи**

Рассматривается задача о проникании давления в глубь сжимаемой идеальной жидкости, занимающей полуплоскость.

Выберем ось  $x$  по поверхности невозмущенной среды, ось  $y$  направим перпендикулярно вниз. Жидкость покрыта тонким слоем льда.

При распространении фронта давления по поверхности лед разрушается. Таким образом, имеем следующую граничную задачу:

$$\text{При } y = 0, x < l(t), P = P_1(x, t), \text{ при } x > l(t), v = 0;$$

где  $P$  - давление,  $v$  - нормальная скорость жидкости к поверхности  $y = 0$ .  $x = l(t)$  закон распространения координаты граничного давления.

Отметим, что в данной статье рассмотрена задача для жидкости, покрытой слоем льда. То же решение годится и в случае, когда поверхность жидкости покрыта тонким слоем любого хрупкого материала. Вместе с тем, повидимому, случай ледового покрытия является наиболее важным с практической точки зрения.

Рассматриваемая задача актуальна, поскольку в ней изучается влияние взрывной волны на подводные объекты, покрытые слоем льда.

Вводя потенциал скорости  $\varphi(x, y, t)$  по формуле  $P = -\rho \frac{\partial \varphi}{\partial t}$ , где  $\rho$  — плотность, можно, учитывая, что  $\partial \varphi / \partial y = v$ , записать граничное условие в виде  $y = 0$

$$\varphi = \varphi_1(x, t) \text{ при } x < l(t), \quad \partial \varphi / \partial y = 0 \text{ при } x > l(t) \quad (1.1)$$

$$\varphi_1(x, t) = -\frac{1}{\rho} \int_{F(x)}^t P_1(x, t) dt, \quad t = F(x) \text{ есть функция, обратная к } x = l(t).$$

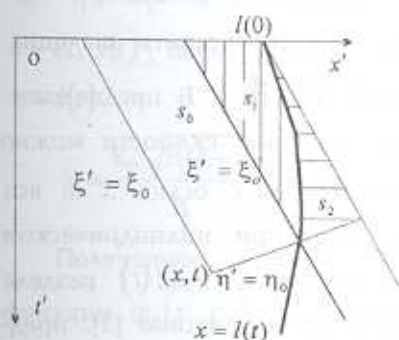
Для потенциала  $\varphi$  имеет место волновое уравнение

$$\frac{\partial^2 \varphi}{\partial x^2} + \frac{\partial^2 \varphi}{\partial y^2} = \frac{1}{c^2} \frac{\partial^2 \varphi}{\partial t^2} \quad (1.2)$$

Введением функции  $v = \partial \varphi / \partial y$ , условия (1.1) с учетом (1.2) запишутся в виде  $y = 0$

$$\partial v / \partial y = f(x, t) \text{ при } x < l(t), \quad v = 0 \text{ при } x > l(t) \quad (1.3)$$

где 
$$f(x, t) = \frac{1}{c^2} \frac{\partial^2 \varphi_1}{\partial t^2} - \frac{\partial^2 \varphi_1}{\partial x^2} \quad (1.4)$$



Фиг. 1

и предположено, что  $l(t) < c$

Таким образом, для функции  $v$  задача свелась к антиплоской задаче о трещине в изотропной упругой среде, распространяющейся с произвольной скоростью [1,2,3]. Решение уравнения (1.2), верного и для функции  $v$ , при граничных условиях (1.3) можно искать методом интегральных уравнений [3, 4, 5]. Согласно [3, 5] можно записать для

функции  $v$  интеграл Поссино на границе среды.

$$v = -\frac{c}{\pi} \iint \frac{(\partial v / \partial y)_{y=0}}{\sqrt{T}} dx dt, \quad T = c^2(t-t')^2 - (x-x')^2 \quad (1.5)$$

где согласно (1.3) при  $x' < l(t')$   $(\partial v / \partial y)_{y=0} = f(x', t')$ , причем  $f(x, t)$  дается (1.4). При этом, интегрирование согласно [5], где рассмотрена аналогичная задача о крыле в характеристических координатах

$$\xi' = ct' - x', \quad \eta' = ct' + x', \quad \xi_0 = ct - x, \quad \eta_0 = ct + x \quad (1.6)$$

должно вестись по заштрихованной области фиг. 1, в пределах  $\xi_a < \xi' < \xi_0$ ,  $-\xi < \eta' < \eta_0$  причем  $\xi_a$  соответствует точке  $x' = l(t_2)$ ,  $t' = t_2$  пересечения характеристики  $\eta' = \eta_0 = ct_2 + l(t_2)$  с

кривой  $x = l(t)$

$$\xi_a = ct_2 - l(t_2), \quad ct + x = ct_2 + l(t_2) \quad (1.7)$$

Тогда в характеристических координатах при  $x < l(t)$  получится

$$v = -\frac{1}{2\pi} \int_{\xi}^{\xi_0} d\xi \int_{-\xi}^{\eta_0} f_1(\xi, \eta) \frac{d\eta}{\sqrt{(\xi_0 - \xi)(\eta_0 - \eta)}} \quad (1.8)$$

причем  $f_1(\xi, \eta) = f(x, t)$ .

В задаче о штампе в переменных  $\varphi, (\partial\varphi/\partial y)_{y=0}$  вместо  $v, (\partial v/\partial y)_{y=0}$  формула (1.8) получена в [6].

Следует отметить, что приведенное ниже решение дается в предположении о дозвуковой скорости фронта давления, что может иметь место при взрыве на самой поверхности.

В случае взрыва в воздухе, вначале скорость ударной волны вдоль поверхности сверхзвуковая, а далее становится дозвуковой. Тогда на фиг. 1 следует участок оси  $x$   $0 < x < l(0)$  заменить на сверхзвуковую часть кривой  $x = l_1(t)$ , что соответствует в задаче о крыле сверхзвуковой передней кромке [5]. Тогда все приведенные ниже формулы сохранятся, только в нижний предел интегралов по  $\eta$  следует ставить значения, соответствующие сверхзвуковой части кривой  $x = l_1(t)$ . В предположении малости времени достижения фронтом звуковой скорости можно считать сверхзвуковую часть кривой, совпадающей с осью  $x$  и все нижеприведенное сохраняет силу. Кроме того, при цилиндрическом взрыве в воздухе, вообще говоря, имеются две точки  $x = \pm l(t)$  раздела граничных условий. Как и в задаче о крыле [5] и трещине [3], предполагается, что рассматриваются моменты времени, для которых дозвуковые части кривой  $x = l_1(t)$  фиг. 1 и соответствующей кривой  $x = -l_1(t)$  взаимно не влияют, что соответствует области справа от характеристики  $\xi = -l(0)$  для приведенной на фиг. 1 картины, описывающей правую часть диаграммы  $x, t$ , связанную с правым фронтом  $x = l(t)$ .

То, что интегрирование в (1.8) следует выбрать так, как сделано, следует из граничного условия  $v = 0$  при  $x > l(t)$ , причем из (1.5) после замены  $\tau_1 = (\partial v/\partial y)_{y=0}$  получится

$$\int_{\xi}^{\xi_0} \frac{\tau_1 d\eta}{\sqrt{\eta_0 - \eta}} + \int_{\eta_0(\xi_0)}^{\eta_0} \frac{\tau_1 d\eta}{\sqrt{\eta_0 - \eta}} = 0, \quad \eta_2(\xi_0) = ct_2 + l(t_2)$$

Тогда, записывая интегралы в (1.5) по заштрихованной области, и областям  $S_1, S_2$  фиг. 1, можно видеть, что интегралы по  $S_1, S_2$  сокращаются и получается (1.8). Тогда из (1.8) получится

$$v = -\frac{1}{2\pi} \int_{l(t)-ct}^{ct-x} \int_{-\xi}^{\eta_0} f_1(\xi, \eta) \frac{d\eta}{\sqrt{(ct-x-\xi)(\eta_0-\eta)}} \quad (1.9)$$

## 2. Определение решения вблизи края фронта давления

Вблизи края фронта давления на границе  $x \approx l(t)$  интегрирование по  $\xi$  ведется по узкой области, для которой  $\xi \approx \xi_0$ , причем

$$\xi_0 - \dot{\xi}_0 = \{l(t) - x\} \frac{2}{1 + l(t)/c} \quad (2.1)$$

где точка означает дифференцирование по времени. Вычисляя интеграл по  $\xi$  в (1.9), где в  $f_1(\xi, \eta)$  и в нижнем пределе интегрирования по  $\eta$  подставлено  $\xi = \xi_0$ , переходя к переменной интегрирования  $x'$ , для которой вдоль характеристики  $\xi = \xi_0$ , имеет место  $d\eta = 2dx'$ ,  $\eta_0 - \eta = 2(x - x')$ , учитывая, что пределы интегрирования по  $x'$  будут  $x - ct, l(t)$ , используя (2.1), можно получить под фронтом давления при  $x = l(t)$

$$v = \frac{k_2 \sqrt{l(t) - x}}{\pi}, \quad k_2 = -\frac{2}{\sqrt{1 + l(t)/c}} \int_{l(t)-ct}^x \frac{f\{x, t - l(t)/c + x/c\}}{\sqrt{x - x'}} dx' \quad (2.2)$$

Полученное решение дает правильное поведение  $v$  только для функции  $\varphi_1(x', t')$ , гладкой в точке  $x' = l(t')$ .

В случае разрывной по производной функции  $\varphi_1(x', t')$  в точке  $x' = l(t')$  интеграл в (2.2) дает увеличение особенности при  $x = l(t)$ . При этом в (1.5) следует дважды проинтегрировать по частям интегралы по  $x', t'$ , заменить производные по  $x', t'$  от  $\frac{1}{\sqrt{T}}$  через производные по  $x, t$  и учесть формулу

$$\left( \frac{1}{c^2} \frac{\partial^2}{\partial t'^2} - \frac{\partial^2}{\partial x'^2} \right) \frac{1}{\sqrt{T}} = \frac{1}{T^{3/2}} \quad (2.3)$$

Тогда (1.5) можно записать в виде

$$v = -\frac{c}{\pi} \iint \varphi_1(x', t') \frac{dx' dt'}{T^{3/2}} \quad (2.4)$$

В характеристических координатах  $\xi, \eta$  получится, как и в (1.8), формула

$$v = -\frac{1}{2\pi} \int_{\xi_0}^{\xi} d\xi \int_{-\xi}^{\eta_0} \varphi_1(x, t) \frac{d\eta}{(\xi_0 - \xi)^{3/2} (\eta_0 - \eta)^{3/2}} \quad (2.5)$$

Повторяя выкладки, сделанные при получении (2.2), используя (2.1), переходя от  $\eta$  к  $x$ , вычисляя конечную часть интеграла по  $\xi$ , можно получить при  $x = l(t)$  соотношение:

$$v = \frac{1}{2\pi} \frac{\sqrt{1+l(t)/c}}{\sqrt{l(t)-x}} \int_{x-ct}^x \varphi_1\left(x, t - \frac{1}{c}x + \frac{1}{c}x'\right) \frac{dx'}{(x-x')^{3/2}} \quad (2.6)$$

В случае же непрерывной в точке  $x = l(t)$ , но имеющей излом, функции  $\varphi_1(x, t)$ , например,

$$\varphi_1(x, t) = B(x, t)\{l(t) - x\} \quad (2.7)$$

где  $B\{l(t), t\} \neq 0$ , а более конкретно, для случая разрывного давления на фронте  $P = P_1 = \text{const}$ , при котором

$$\varphi_1(x, t) = -\frac{1}{\rho} P_1 \{t - F(x)\} \quad (2.8)$$

интеграл в (2.6) в точке  $x = l(t)$  дает с точностью до множителя  $-\frac{1}{\rho\sqrt{c}} P_1$ , при переходе от переменной интегрирования  $x'$  к  $t' = t + x'/c - x/c$

$$\int_0^{t'} \frac{t' - F\{l(t) + ct' - ct\}}{(t-t')^{3/2}} dt' \quad (2.9)$$

Нижний предел не дает особенности, а при  $t' \rightarrow t$  подынтегральная функция в (2.9), с учетом того, что  $F\{l(t)\} = t$ , равна приближенно

$$\frac{t' - t - \dot{F}\{l(t)\}c(t-t)}{(t-t')^{3/2}} = -\frac{1 - c\dot{F}(t)}{\sqrt{t-t}} \quad (2.10)$$

причем  $\dot{F}(t) = 1/l(t)$ . Таким образом, для граничной функции  $\varphi_1(x, t)$ , обращающейся в нуль первого порядка при  $x = l(t)$ , интеграл в (2.6) для  $x = l(t)$  имеет конечное значение, и имеет место известная из теории трещин [3] особенность функции  $v$ .

### 3. Определение потенциала вне фронта давления

Можно также получить значение  $\varphi(x, t)$  при  $x > l(t)$  на поверхности среды. Для этого следует применить метод сверток [2, 6].

Запишем

$$\varphi = \varphi_+(x, t) + \varphi_-(x, t), \quad v = v_+(x, t) + v_-(x, t)$$

где индекс "+" соответствует функциям, равным нулю при  $x < l(t)$ , а индекс "-" функциям, равным нулю при  $x > l(t)$ .

Вводя преобразование Лапласа по  $t$ ,  $\bar{\varphi}(x, y, s) = \int_0^{\infty} e^{-st} \varphi(x, y, t) dt$ ,

полагая  $\bar{\varphi} = \int_{-\infty}^{\infty} e^{-i\alpha_1 x - i\beta_1 y} \cdot \varphi d\alpha_1$ , и, подставляя в (1.2), можно получить

$\beta_1 = -i\sqrt{s^2/c^2 + \alpha_1^2}$ . Вводя преобразования Лапласа и Фурье от функций  $\varphi$  и  $v$  на границе полуплоскости  $y = 0$

$$\bar{\varphi} = \int_{-\infty}^{\infty} e^{i\alpha_1 x} \bar{\varphi}(x', 0, s) dx', \quad \bar{v} = \int_{-\infty}^{\infty} e^{i\alpha_1 x} \bar{v}(x', 0, s) dx' \quad (3.1)$$

используя равенство  $v = \frac{\partial \varphi}{\partial y}$ , можно получить для  $\bar{\varphi}, \bar{v}$

$$\bar{\varphi} = \bar{S}(\alpha_1, s) \bar{v} \quad (3.2)$$

где  $\bar{S} = -\frac{1}{\sqrt{s^2/c^2 + \alpha_1^2}}$  (3.3)

Записывая факторизацию функции  $\bar{S} = \bar{S}_+ \bar{S}_-$ , где [6]

$$\bar{S}_+ = \frac{1}{\sqrt{s/c - i\alpha_1}}, \quad \bar{S}_- = \frac{1}{\sqrt{s/c + i\alpha_1}} \quad (3.4)$$

вводя также функции  $\bar{P}_+ = 1/\bar{S}_+$ , можно из (3.2), следуя [2, 6], получить

$$\varphi_+ = S_+ ** \{(S_- ** v_+ - P_+ ** \varphi_-) H(x-l)\} \quad (3.5)$$

$$v_- = -P_- ** \{(S_- ** v_+ - P_+ ** \varphi_-) H(l-x)\} \quad (3.6)$$

где  $H(x)$  есть единичная функция. Звездочки обозначают свертки по  $x', t'$ . В силу того, что  $v_+ = 0$ , из (3.6) можно после некоторых преобразований получить значение  $v$  под фронтом давления, даваемое (1.5), (2.4). Из (3.5) получится при  $x > l(t)$

$$\varphi_+ = -S_+ ** \{(P_- ** \varphi_-) H(x-l)\} \quad (3.7)$$

Функции  $S_+$ ,  $P_+$  находятся из (3.4) применением обратных преобразований Лапласа и Фурье в виде [6]

$$S_+(t, x) = -\frac{H(x)\delta(t-x/c)}{\sqrt{\pi}\sqrt{x}}, \quad P_+(t, x) = \frac{1}{2\sqrt{\pi}}\delta(t-x/c)\frac{H(x)}{x^{3/2}} \quad (3.8)$$

Для граничной функции, заданной в виде

$$\varphi_1 = \varphi_{0+} = -\delta(x-\xi)H(t-\tau) \quad (3.9)$$

можно получить для внутренней свертки в (3.7)

$$P_+ ** \varphi_{0+} = -\frac{1}{2\sqrt{\pi}}\frac{H(x-\xi)}{(x-\xi)^{3/2}}H\left(t-\tau-\frac{x}{c}+\frac{\xi}{c}\right) \quad (3.10)$$

Из (3.7) и (3.10) с учетом (3.8) после замены  $x-x'-\xi=X'$ , имеем

$$\begin{aligned} \varphi_{0+} = & -\frac{1}{2\pi}\int_{-\infty}^{\infty}\frac{H(x')}{X'^{3/2}}\frac{H(x-X'-\xi)}{\sqrt{x-X'-\xi}}H\left(t-\tau-\frac{x}{c}+\frac{\xi}{c}\right) \times \\ & \times H\left[X'+\xi-l\left(t-\frac{x}{c}+\frac{\xi}{c}+\frac{X'}{c}\right)\right]dX' \end{aligned} \quad (3.11)$$

Нижний предел интегрирования находится из условий

$$X'+\xi-l(t_0)=0, \quad t_0=t-x/c+\xi/c+X'/c=t-x/c+l(t_0)/c \quad (3.12)$$

Заменяя переменную интегрирования  $\frac{1}{\sqrt{X'}}=y'$ , можно из (3.11) с

учетом (3.12) получить

$$\varphi_{0+} = -\frac{1}{\pi}H\left(t-\tau-\frac{x}{c}+\frac{\xi}{c}\right)\frac{1}{x-\xi}\frac{\sqrt{x-l(t_0)}}{\sqrt{l(t_0)-\xi}}$$

Для произвольной граничной функции  $\varphi_1(t, x)$ , пользуясь соотношением [2]

$$\varphi_+(t, x) = -\int_{-\infty}^t \int \frac{\partial \varphi_1}{\partial \tau} \varphi_{0+}(t, \tau, x, \xi) d\tau d\xi \quad (3.13)$$

можно получить

$$\varphi_+(t, x) = \frac{\sqrt{x-l(t_0)}}{\pi\sqrt{c}} \int_0^{t_0} \varphi_1\{\tau, x-(t-\tau)c\} \frac{d\tau}{\sqrt{t_0-\tau}(t-\tau)} \quad (3.14)$$

где учтено, что вдоль характеристики

$$l(t_0)-x+c(t-\tau)=c(t_0-\tau) \quad (3.15)$$

Для реальной задачи, в которой имеет место нулевое значение потенциала в точке  $x=l(t)$ , а именно,  $\varphi_1(x, t) = B(x, t)\{l(t)-x\}$ , интеграл в формуле (3.14) является конечным. Таким образом, для функции  $\varphi_- = \varphi_1(\tau, \xi)$ , обращаемой в нуль, при  $\xi=l(t)$  (3.14) дает

известное по характеру особенности решение для  $\frac{\partial \varphi_+}{\partial t}$  [6].

Отметим, что в [7] дано решение задачи о давлении, распространяющемся вглубь упругой среды.

Решение анизотропной задачи о антиплоской трещине в упругой среде дано в [8].

Задача о трещине рассмотрена в [9], где записаны формулы вида (1.5), (1.8), однако там не рассмотрено упрощение вблизи края трещины. Кроме того, в [3] и [9] знак перед интегралом в формуле, аналогичной (1.5), следует изменить на обратный.

#### ЛИТЕРАТУРА

1. Багдоев А. Г., Мовсисян А. А. Приближенное решение антиплоской анизотропной задачи о распространении трещины.-Механика, ЕГУ, 1989, вып. 7, с. 3-7.
2. Сарайкин В. А., Слепян Л. И. Плоская задача о динамике трещины в упругом теле.-Изв. АН СССР, МТТ, 1979, № 4, с. 54-73.
3. Костров В. Б. Неустановившееся распространение трещины продольного сдвига.-ПММ, 1966, т. 30, вып. 6, с. 1042-1050.
4. Ward G. Supersonic flow past thin wings.-The Quarterly Journal of Mechanics and Applied Mathem.1949, V, II, Part 2.
5. Красильщикова В. Б. Тонкое крыло в сжимаемом потоке.-М.: Наука, 1978. 223с.
6. Поручиков В. Б. Методы динамической теории упругости.-М.: Наука, 1986, 328с.
7. Мартиросян А. Н. Краевые задачи нестационарного движения анизотропных и изотропных упругих сред.- Докторская диссертация, Ереван, 1990. 278с.
8. Багдоев А. Г., Мартиросян А. Н., Сафарян Ю. С. Антиплоская задача для трещины, движущейся с произвольной скоростью в анизотропной упругой однородной среде.- Изв. НАН Армении, Механика, 1998, т. 51, № 1, с. 16-20.
9. Аки К., Ричардс П. Количественная сейсмология.- М.: Мир, 1983. 880с.

Институт механики НАН Армении  
Ереванский архитектурно-  
строительный институт

Поступила в редакцию  
11.02.1999